



Reumatología clínica en imágenes

Utilidad de la imagen híbrida tomografía por emisión de fotón único/tomografía computarizada con ^{99m}Tc -hidroximetileno-difosfonato en el estudio del síndrome del túnel tarsiano



Usefulness of ^{99m}Tc -hydroxymethylene-diphosphonate single photon emission computed tomography/computed tomography hybrid imaging in the study of tarsal tunnel syndrome

Marta Sánchez Aguilar*, Rosario García Jiménez, Francisco Javier García Gómez e Isabel Borrego Dorado

Servicio de Medicina Nuclear, Hospital Universitario Virgen del Rocío, Sevilla, España

INFORMACIÓN DEL ARTÍCULO

Historia del artículo:

Recibido el 15 de enero de 2015

Aceptado el 27 de marzo de 2015

On-line el 27 de mayo de 2015

Paciente de 46 años con talalgia izquierda de 2 años de evolución, sin antecedentes traumáticos, con factores mecánicos de sobrecarga, empeoramiento al iniciar la marcha y matutino, características neuropáticas nocturnas, sin irradiación difusa y tan solo ocasionalmente hacia la región plantar y respuesta transitoria a analgésicos e infiltraciones.

En la exploración física presenta dolor selectivo a la palpación a nivel del tendón de los músculos peroneos, tendón de Aquiles y su inserción en el calcáneo, borde medial del talón, así como a las maniobras de estiramiento de la fascia plantar, huella plantar cava grado I con valgo de retropié de 5° el derecho y 10° en el izquierdo, hiperqueratosis en las cabezas centrales medias de ambos pies y claudicación de la marcha. No se observó atrofia de la musculatura intrínseca del pie o cambios tróficos de la piel. El diagnóstico inicial fue de talalgia plantar izquierda por tendinitis y entesitis aquilea. Las ecografías y radiografías resultaron no concluyentes. No se constató respuesta al tratamiento fisioterapéutico, realizándose una RM para descartar un síndrome del túnel tarsiano (STT) que demostró derrame articular tibio-peroneo-astragalino, esguince peroneo-astragalino, tenosinovitis tibial posterior e hiperintensidad de señal del seno tarsiano, sugestivos de síndrome del seno del tarso.

La magnetoterapia e infiltraciones resultaron improductivas, solicitándose una gammagrafía ósea en 2 fases con

^{99m}Tc -hidroximetileno-difosfonato e imágenes tomográficas de fusión SPECT/TC (fig. 1 A), con reconstrucción 3D (fig. 1 B), localizándose de manera precisa un aumento de la actividad osteoblástica en el maleolo tibial izquierdo, astrágalo y articulación calcáneo-astragalina, estableciéndose el diagnóstico de STT. Los resultados del estudio electrofisiológico no muestran anomalías motoras o sensitivas evidentes. Tras persistencia de dolor eléctrico en el recorrido del nervio hasta el túnel tarsiano, con calambre en el puente y la planta del pie, se derivó a cirugía de liberación nerviosa.

Los trastornos osteoarticulares del pie constituyen una entidad de difícil diagnóstico dada la complejidad anatomofuncional, confiriendo a las técnicas de imagen un papel fundamental en su valoración, tratamiento y seguimiento^{1,2}.

El STT está originado por una neuropatía por atrapamiento del nervio tibial posterior dentro del túnel óseo-fibroso del retináculo flexor medial del tobillo³. Se trata de una enfermedad poco frecuente, con importantes implicaciones clínicas. La combinación de la imagen morfo-funcional con reconstrucción 3D aumenta significativamente la sensibilidad de la gammagrafía⁴, mejorando sustancialmente la precisión de la localización anatómica, la valoración de su grado y extensión y mejorando la planificación quirúrgica⁵.

Mensaje didáctico

La imagen morfo-funcional con reconstrucción 3D representa una mejora sustancial en la calidad de vida del paciente con STT,

* Autor para correspondencia.

Correo electrónico: marta231087@hotmail.com (M. Sánchez Aguilar).

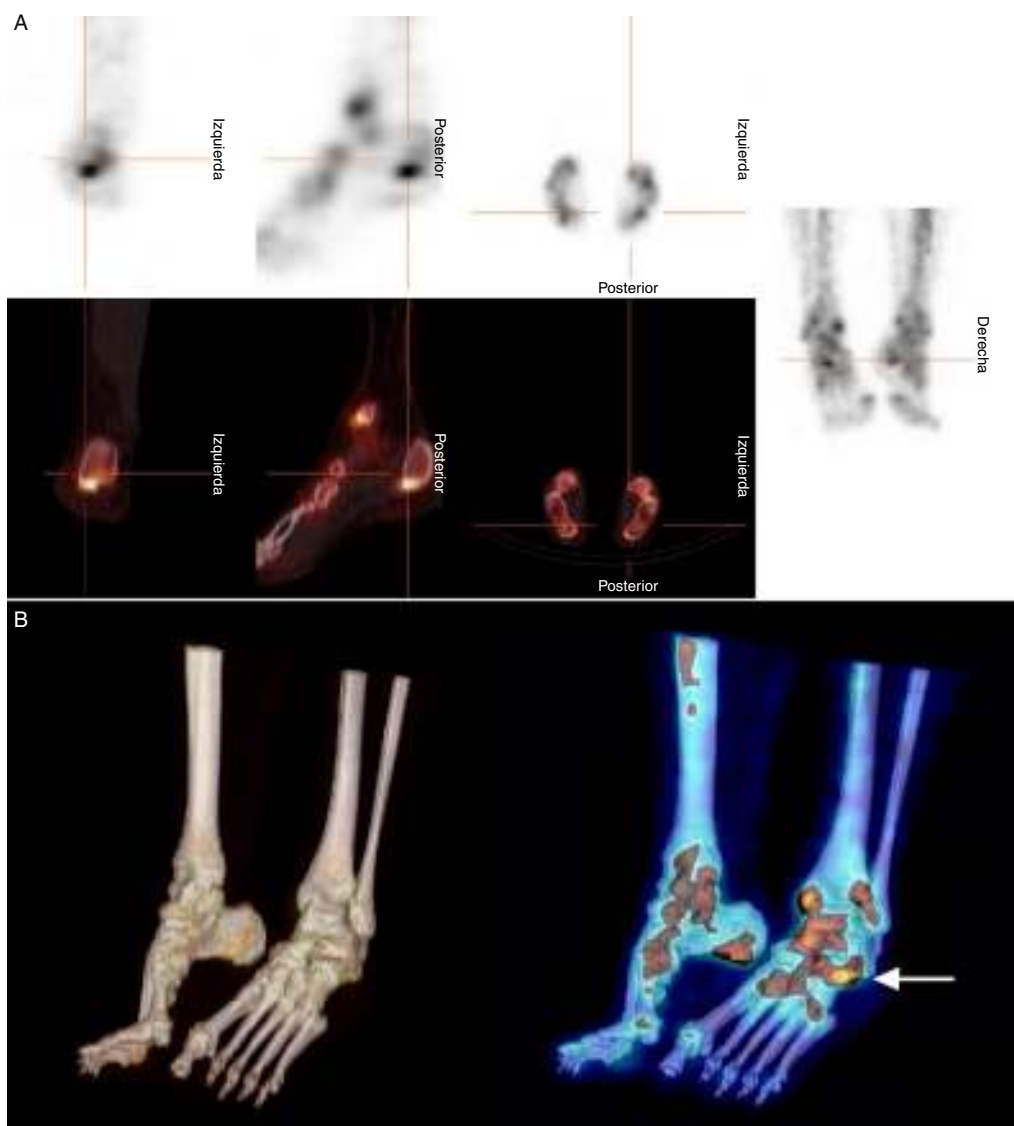


Figura 1. A. SPECT/TC ósea en planos axial, sagital y coronal que muestra aumento de la actividad osteoblástica en el maléolo tibial izquierdo, astrágalo y articulación calcáneo astragalina. (cruz). B. Reconstrucciones 3D de las imágenes de fusión que permiten la localización precisa del punto de atrapamiento (flecha).

permitiendo un diagnóstico precoz y preciso, que conlleva un tratamiento eficaz y evitando actuaciones diagnósticas y terapéuticas infructuosas.

Responsabilidades éticas

Protección de personas y animales. Los autores declaran que los procedimientos seguidos se conformaron a las normas éticas del comité de experimentación humana responsable y de acuerdo con la Asociación Médica Mundial y la Declaración de Helsinki.

Confidencialidad de los datos. Los autores declaran que han seguido los protocolos de su centro de trabajo sobre la publicación de datos de pacientes.

Derecho a la privacidad y consentimiento informado. Los autores han obtenido el consentimiento informado de los pacientes y/o

sujetos referidos en el artículo. Este documento obra en poder del autor de correspondencia.

Conflictos de intereses

Los autores declaran no tener ningún conflicto de intereses.

Bibliografía

1. Mohan HK, Gnanasegaran G, Vijayanathan S, Fogelman I. SPECT/CT in imaging foot and ankle pathology-The demise of other coregistration techniques. *Semin Nucl Med.* 2010;40:41–51.
2. Nouh MR, Khalil AA. Forefoot: A basic integrated imaging perspective for radiologists. *Clin Imaging.* 2014;38:397–409.
3. Ahmad M, Tsang K, Mackenney PJ, Adedapo AO. Tarsal tunnel syndrome: A literature review. *Foot Ankle Surg.* 2012;18:149–52.
4. Alonso Farto JC, Orcajo Rincón J, Zamudio Rodríguez D, Hernández Pérez R. Alteraciones gammagráficas en las enfermedades metabólicas óseas. *REEMO.* 2009;18:25–33.
5. Huellner MW, Strobel K. Clinical applications of SPECT/CT in imaging the extremities. *Eur J Nucl Med Mol Imaging.* 2014;41 Suppl 1:S50–8.